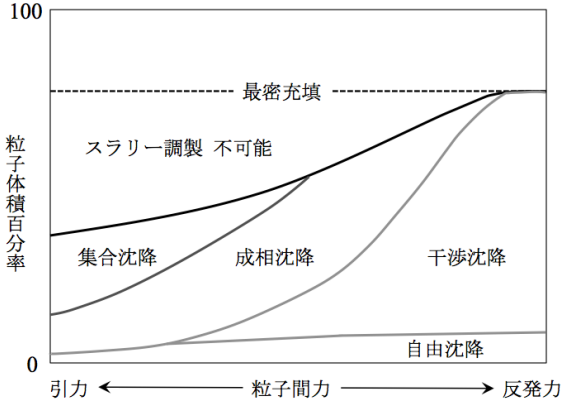
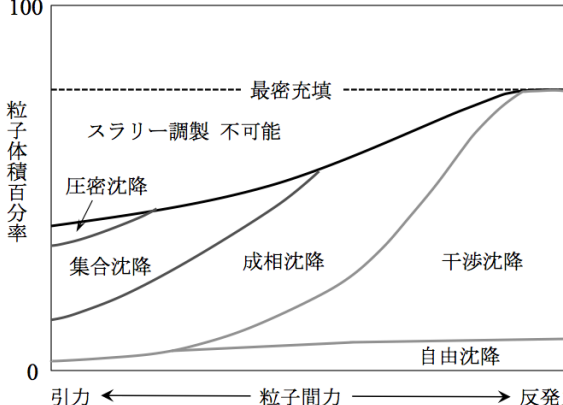
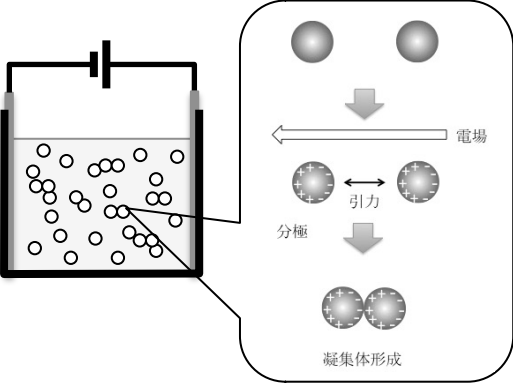
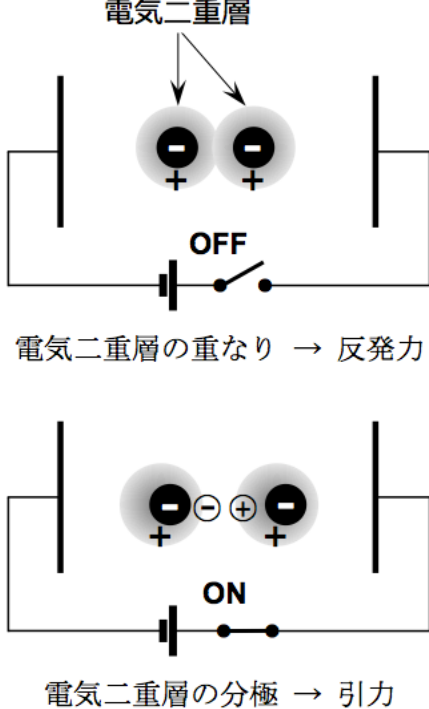


頁	誤	正
26	低 pH : $MO-OH+H^+ \rightarrow MOH_2^+$ 高 pH : $MO-OH+OH^- \rightarrow MO^- + H_2O$	低 pH : $M-OH+H^+ \rightarrow M-OH_2^+$ 高 pH : $M-OH+OH^- \rightarrow M-O^- + H_2O$
57	式(4.9) $F = \frac{\pi x \epsilon_0 \epsilon_r \Psi_\zeta^2 \kappa}{1 + \exp(-\kappa h)} - \frac{A_{132} X}{24 h^2}$	$F = \frac{\pi x \epsilon_0 \epsilon_r \Psi_\zeta^2 \kappa}{1 + \exp(\kappa h)} - \frac{A_{132} X}{24 h^2}$
78	式(5.16)の下2行目 電気二重層の厚さは粒子径程度なので $\kappa x \approx 1$ となる。	電気二重層の厚さはイオン濃度が低いほど厚く, 図3.9に示したように純水で $0.8 \mu m$ となる。
95	文献 16) 浅井一輝, 長縄佳祐, 森隆昌	浅井一輝, 長縄佳祐, 森隆昌, 椿淳一郎
107	6.2.3 pH, 分散剤添加の影響	6.2.3 分散剤添加の影響
115	図 6.23 「CMC,1.0」の矢印	一つ下のデータ曲線を指す。
128	図 7.8 	
152	図 8.7 U_b : 堆積流速	U_b : 堆積流束
165	図 8.26 図中説明 $0.3 mg \cdot g^{-1} Al_2O_3$	$3 mg \cdot g^{-1} Al_2O_3$
166	文献 4) Mori, T., Y. Hori, H. Fei, I. Inamine, K. Asai, T. Kiguchi and J. Tsubaki : “Experimental Study about the Agglomeration Behavior in Slurry Prepared by Adding E”	Mori, T., K. Kuno, M. Ito, J. Tsubaki and T. Sakurai: "Slurry characterization by hydrostatic pressure measurement — analysis based on apparent weight flux ratio"

219	↓ 8 行目 スラリー中の粒子が分極し，	粒子の電荷と電気二重層拡散層内の対イオンの電荷が分極し，
219	図 15.1 	 <p>電気二重層</p> <p>OFF</p> <p>電気二重層の重なり → 反発力</p> <p>ON</p> <p>電気二重層の分極 → 引力</p>
243	↓ 11 行目 野村 享平 ↑ 5 行目 盛田 雅也	野村 享平 森田 雅也